



مهندسی شبکه های عصبی توسط اتوماتانهای یادگیر:

ارائه یک الگوریتم تطبیقی برای تعیین تعداد وزنهای ورودی نرونها لایه مخفی برای شبکه های

عصبی سه لایه

محمد رضا میبدی

بیهود مشعوفی

دانشیار دانشکده مهندسی کامپیوتر

دانشجوی دکتری دانشکده مهندسی برق

محمد باقر منهاج

سید احمد معتمدی

دانشیار دانشکده مهندسی برق

دانشیار دانشکده مهندسی برق

دانشگاه صنعتی امیر کبیر

تهران، ایران

چکیده

الگوریتم پس انتشار خطای استاندارد، فقط در فضای وزنهای شبکه، با تپولوژی ثابت، عمل جستجو را انجام میدهد. تعداد لایه ها، نرونها و وزنهای شبکه، تأثیر بسزایی بر روی کارائی شبکه دارد. بنابر این نیاز به الگوریتمهای داریم که بتوانند بطور اتوماتیک ساختار مناسب شبکه را تعیین کنند. برای تعیین اندازه مطلوب برای شبکه های عصبی الگوریتمهای گوناگونی توسط افراد مختلف ارائه شده است. توسط آقایان میبدی و بیگی الگوریتم جدیدی با استفاده از اتوماتان یادگیری مهاجرت اثیبا برای تعیین تعداد وزنهای طراحی گردیده است. این الگوریتم با حذف وزنهایی که دارای تأثیر کمتری هستند نه تنها باعث کاهش پیچیدگی شبکه میشود، بلکه قدرت تعمیم شبکه را نیز افزایش میدهد. در الگوریتم تعیین تعداد وزن، در ابتدا همه وزنهای موجود در شبکه روش بوده و به همه وزنهایی اجازه داده میشود تا در آموزش شبکه شرکت نمایند. وزنهای روشی که قدر مطلق مقدار آنها از یک مقدار آستانه ای کمتر باشد جرمیه شده و وزنهای روشی که قدر مطلق آنها از یک مقدار آستانه ای دیگر بیشتر باشد پاداش میگیرند. وزنهای روشی که قدر مطلق مقدار آنها بین دو مقدار آستانه ای قرار گیرد تغییری در وضعیت آنها ایجاد نمیشود. با انتخاب مقادیر بینیمه برای این بازه های میتوانیم در کمترین زمان به شبکه هایی با حداقل تعداد وزن که بتواند با خطای قابل قبولی الگوهای آموزش را یاد گرفته و همچنین از قدرت تعمیم قابل قبولی برخوردار باشد برسیم. در این مقاله با استفاده از اتوماتان یادگیر، بازه های تصمیم گیری را تطبیق داده ایم. در الگوریتم پیشنهادی برای پاسخ دادن به اتوماتان مربوط به تنظیم بازه های تصمیم گیری، از معیار خطای کمک گرفته ایم. مالگوریتم پیشنهادی بر روی مسائل مختلفی پیاده سازی شده است. نتایج مشابه سازیها نشان میدهد شبکه های تولید شده توسط الگوریتم جدید از پیچیدگی پائین تری نسبت به الگوریتم تعیین وزن غیر تطبیقی برخوردار میباشند.

کلمات کلیدی: مهندسی شبکه های عصبی، شبکه های عصبی چندلایه، ساختار شبکه های عصبی، الگوریتم پس انتشار خطای اتوماتانهای یادگیر

۱- مقدمه

در سالهای اخیر مدلهای شبکه عصبی زیادی، برای مسائل طبقه بندی الگو، تقریب تابع، بازناسانی گفتار و ... ارائه گردیده است. در بین اینها، شبکه های عصبی جلو رونده چند لایه، مهمترین آنها میباشد. روشی که از الگوریتم پس انتشار خطای استاندارد استفاده میکند فقط در فضای وزنهای شبکه با تپولوژی ثابت، عمل جستجو را انجام میدهد¹ [۱]. این روشها در حالت کلی فقط موقعی مناسب میباشد که ساختار شبکه درست انتخاب شده باشد. تعداد لایه ها، نرونها و وزنهای شبکه، تأثیر بسزایی بر روی کارائی شبکه دارد. شبکه های خیلی کوچک، قادر به یادگیری مسئله نبوده و شبکه های با ابعاد بزرگ دچار Overfitting شده و قدرت تعمیم² پائینی خواهد داشت. علاوه بر این بسیار کند بوده و هزینه بسالانی خواهد داشت. حالت مشابه را در مسئله برازش منحنی³ با استفاده از چند جمله ایها شاهد هستیم. داده هایی را در نظر میگیریم که توسط یک تابع که نویز جمع شونده نیز در خروجی آن قرار دارد ایجاد شده است. یک چند جمله ای با تعداد پائین ضرائب قادر نخواهد بود از روی داده ها تابع را مدل سازی کند از طرف دیگر یک چند جمله ای با تعداد بالای ضرائب، نویز موجود در داده ها را نیز مدل سازی کرده در نتیجه مدل خوبی را برای تابع ارائه نخواهد کرد. ولی

- 1) Generalization
- 2) Curvefitting

اگر تعداد ضرائب بطور مناسب انتخاب شود، چند جمله‌ای، نمایش خوبی را برای تابع همچنین پیشگویی دقیقی را برای داده‌های جدید ارائه خواهد کرد. در شبکه‌های عصبی نیز همین مسئله اتفاق می‌افتد. در این حالت نیز پیجیدگی مدل بایستی با مسئله تطبیق داده شود. بنابر این نیاز به الگوریتمهای داریم که بتوانند بطور اتوماتیک ساختار مناسب شبکه را تعیین کنند. الگوریتمهایی را که تاکنون توسط افراد مختلف یمنظور تعیین اندازه مطلوب برای شبکه‌های عصبی ارائه شده است میتوان به پنج گروه عمده زیر تقسیم کرد [۴۲].

الف) الگوریتمهای هرس: در این دسته از الگوریتمها، از یک شبکه بزرگ شروع کرده و آنرا آموزش میدهیم سپس وزنها و نرونها را حذف میکنیم. اندازه اولیه بزرگ، این اجازه را میدهد که شبکه سریعاً، با حداقل حساسیت به شرایط اولیه، آموزش ببیند. و پیجیدگی پائین شبکه هرس شده نیز قدرت تعیین آنرا افزایش میدهد. این الگوریتمها بد و گروه عمده تقسیم میشوند. گروه اول، حساسیت تابع خطای نسبت به حذف یک عنصر را تخمین زده، عناصر با حداقل تأثیر را حذف میکند [۶]-[۳]. گروه دوم، عبارتی را به تابع هدف اضافه میکند که به شبکه برای انتخاب جوا بهای کارآمد پاداش میدهد [۷]-[۱۴].

ب) الگوریتمهای سازنده: این الگوریتمها از یک شبکه کوچک شروع کرده سپس تا حصول یک جواب رضایت‌بخش، واحدهای مخفی و وزنهایی را به شبکه اضافه میکنند [۱۵]-[۱۹].

ج) الگوریتمهای ترکیبی: این دسته از الگوریتمها در حقیقت ترکیبی از الگوریتمهای هرس و الگوریتمهای سازنده میباشد. این الگوریتمها در طول آموزش با اضافه و حذف کردن وزنها و نرونها سعی در رسیدن به یک شبکه با ساختار اپتیمال را دارند [۲۰]-[۲۱].

د) الگوریتمهای تکاملی: این الگوریتمها با استفاده از یک معیار کارآیی مثل حداقل خطای یا پیجیدگی آموزش، در فضای ساختارها، بدنیال مناسبترین ساختار میباشند. در این روش هر نقطه از فضای جستجو، متناظر با یک ساختار شبکه میباشد [۲۲]-[۲۶].

ه) الگوریتمهای بر اساس اوتماتانهای یادگیری: برای اولین بار توسط آقایان میدی و بیگی الگوریتمهایی بر اساس اوتماتانهای یادگیر برای دستیابی به ساختارهای بینه با پیجیدگی آموزش کم و قدرت تعیین بالا رانه گردیده است [۲]-[۲۷]. در اولین الگوریتم ارائه شده که تحت عنوان الگوریتم بقا می‌باشد از یک اوتماتان یادگیر مهاجرت اشیا^۱عنوان یک ابزار جستجوی عمومی استفاده شده است. این الگوریتم حین آموزش، ساختار مناسبی برای شبکه عصبی سه لایه از حیث پائین بودن پیجیدگی آموزش و قدرت تعیین بالا تعیین میکند. الگوریتم بقا آموزش را با یک شبکه عصبی سه لایه بزرگ شروع کرده و با افزودن و کاستن نرونها مخفی، تعداد نرونها لایه مخفی شبکه را تعیین میکند. در ادامه کار در مقاله [۴۲] سه الگوریتم دیگر توسط آقایان میدی و بیگی بر اساس اوتماتانهای یادگیر مهاجرت اشیا و الگوریتم یادگیری پس انتشار خطای ارائه گردیده است. این الگوریتمها شامل دو بخش میباشند. در بخش اول تعداد نرونها مخفی مورد نیاز شبکه، و در بخش دوم تعداد وزنها هر نرون مشخص میگردد. در الگوریتم ۱ برای تعیین تعداد واحدهای مخفی از الگوریتم بقا استفاده شده است. برای تعیین تعداد وزنها الگوریتم جدیدی با استفاده از اوتماتان یادگیر مهاجرت اشیا طراحی گردیده است. این الگوریتم با حذف وزنهایی که دارای تأثیر کمتری هستند نه تنها باعث کاهش پیجیدگی شبکه می‌شود، بلکه افزایش تعیین شبکه را هم بدنیال دارد. الگوریتم تعیین وزنها با خاموش و روشن کردن وزنها سعی در پیدا کردن وزنها مناسب دارد. در دو الگوریتم دیگر هدف فقط تعیین تعداد وزنها لایه مخفی شبکه است و تعداد واحدهای لایه مخفی از طریق تعیین تعداد وزنها شبکه مشخص میگردد. در الگوریتم کاهش تعداد وزن، [۴۲] از یک اوتماتان برای تعیین تعداد وزنها لایه مخفی استفاده شده است. در ابتدا همه وزنها موجود در شبکه روشن بوده و به همه وزنها مدتی اجازه داده میشود تا در آموزش شبکه شرکت نمایند. وزنها روشی که قدر مطلق مقادیر آنها از یک مقدار باشد جرمیه شده و وزنها روشی که قدر مطلق آنها از یک مقدار آستانه ای دیگر بیشتر باشد پاداش میگیرند. وزنها روشی که قدر مطلق مقادیر آنها بین دو مقدار آستانه ای قرار گیرد تغییری در وضعیت آنها ایجاد نمیشود. در مورد وزنها نیز وضع بینهای خاموشی که قدر مطلق آنها کمتر از یک مقدار آستانه ای باشد پاداش میگیرند و وزنها خاموشی که قدر مطلق آنها بیشتر از یک مقدار آستانه ای باشد جرمیه میشوند. وزنها روشی که بین دو مقدار آستانه ای قرار میگیرند تغییری در وضعیت آنها صورت نمیگیرد. مقادیر آستانه ای که در این تصمیم گیریها مورد استفاده قرار میگیرد بسیار تعیین کننده بوده و تأثیر چشمگیری در عملکرد شبکه عصبی دارد این مطلب در بخشها بعدی مقاله بطور مبسوط توضیح داده خواهد شد. با انتخاب مقادیر بینه برای این بازه هامیتوانیم در کمترین زمان به شبکه هایی با حداقل تعداد وزن که بتواند با خطای قابل قبولی الگوهای آموزش را یادگرفته و از قدرت تعیین قابل قبولی برخوردار باشد برسیم. در این مقاله با استفاده از اوتماتان یادگیر، بازه های تصمیم گیری را تطبیق داده ایم. در الگوریتم پیشنهادی برای پاسخ دادن به اوتماتان مربوط به تنظیم بازه های تصمیم گیری، از معیار خطای کمک گرفته ایم. مینیمم مقدار خطای در تکرار فعلی را با مینیمم مقدار خطای در تکرار قبلی مقایسه میکنیم اگر با یک ضریبی خطای افزایش پیدا کرده بود اوتماتان را جرمیه میکنیم در غیر اینصورت به آن پاداش میدهیم.

1) Pruning Algorithms

2) Constructive Algorithms

3) Evolutionary Algorithms

4) Learning Automata

5) Object Migrating Learning Automata

بخش های بعدی مقاله بصورت زیر سازماندهی شده است. در بخش ۲ الگوریتم یادگیری پس انتشار خطا که برای آموزش شبکه های عصبی چند لایه مورد استفاده قرار می گیرد توضیح داده شده است. موضوع Overtraining و قدرت تعمیم شبکه در بخش ۳ مورد بررسی قرار گرفته است. مقدمه ای بر اوتوماتانهای یادگیر و انواع مهم آن در بخش ۴ آورده شده است. در بخش ۵ الگوریتم پیشنهادی را توضیح داده ایم. نتایج آزمایشها برای مثال مختلف در بخش ۶، قدر دانی و تشکر در بخش ۷ و در پایان نتیجه گیری آورده شده است.

۲ - الگوریتم پس انتشار خطا

الگوریتم BP یک روش سیستماتیک برای آموزش شبکه های عصبی چند لایه می باشد. الگوریتم BP بطور مبسوط در مرجع [۲۸] توضیح داده شده است. الگوریتم BP، دو مسیر محاسباتی دارد. مسیر اول مسیر پیشخور یا رفت و مسیر دوم مسیر پس خور یا مسیر برگشت نامیده می شود.

مسیر رفت: این مسیر با معادلات زیر توصیف می شود:

$$\begin{aligned} \underline{a}^0 &= \underline{p}(k) \\ \underline{a}^{l+1}(k) &= \underline{F}^{l+1}\left(W^{l+1}(k)\underline{a}^l + \underline{b}^{l+1}(k)\right), \quad l = 0, 1, \dots, L-1 \\ \underline{a} &= \underline{a}^L(k) \end{aligned} \quad (1)$$

در این مسیر وزنها و بایاسهای شبکه تغییر داده نمی شوند. توابع محرك، روی تمامی نرونها عمل می کند، یعنی:

$$\underline{F}^{l+1}(\underline{n}(k)) = \left[f^{l+1}\left(n_1(k)\right) \dots f^{l+1}\left(n_{n_{l+1}}(k)\right) \right]^T \quad (2)$$

مسیر برگشت: در این مسیر بردارهای حساسیت از لایه اول برگشت داده می شوند. معادلات زیر، دینامیک مسیر برگشت را بیان می کند:

$$\begin{aligned} \underline{\delta}^L(k) &= -2\underline{F}^L(\underline{n})\underline{e}(k) \\ \underline{\delta}^l(k) &= \underline{F}^l(\underline{n}^l)(W^{l+1})^T \underline{\delta}^{l+1}, \quad l = L-1, \dots, 1 \\ \underline{e}(k) &= \underline{t}(k) - \underline{a}(k) \end{aligned} \quad (3)$$

در مسیر برگشت ابتدا با در دست بودن بردار هدف، بردار خطا محاسبه می شود. سپس بردار خطا از سمت راست به چپ و از لایه آخر به لایه اول توزیع شده، گرادیان محلی نرون به نرون با الگوریتم بازگشتی محاسبه می شود.

تنظیم پارامترها: در این مرحله ماتریسهای وزن و بردارهای بایاس شبکه بصورت زیر تنظیم می شوند.

$$\begin{aligned} W^{l+1}(k+1) &= W^l(k) - \alpha \underline{\delta}^l(k) \underline{a}^{l+1}(k)^T \\ b^l(k+1) &= b^l(k) - \alpha \underline{\delta}^l(k), \quad l = 1, 2, \dots, L \end{aligned} \quad (4)$$

توقف: اگر میانگین مربعات خطا در هر epoch (جمع مربعات خطا برای تمامی الگوهای یادگیری) کمتر از مقدار از پیش تعیین شده ای بوده و یا اینکه فرم تغییرات در پارامترهای شبکه پس از هر سیکل خیلی کوچک باشد الگوریتم BP متوقف می شود.

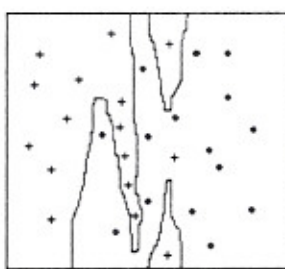
۳ - و قدرت تعمیم Overtraining

موقعیکه یک شبکه عصبی آموزش می بیند، وزنها طوری تغییر داده می شوند که خطا کاهش یابد. اگر شبکه توسط الگوهایی که فقط اختلاف جزئی با الگوهای آموزش دارند تست شود خطا در الگوهای تست همچنانکه شبکه آموزش می بیند و قدرت تعمیم آن بیشتر می شود کاهش پیدا می کند. این مسئله در شکل (۱) نشان داده شده است. اگر الگوهای آموزش ناکافی باشد در اینصورت محتوى داده های نادرست و گمراه کشته خواهد بود [۴۱].

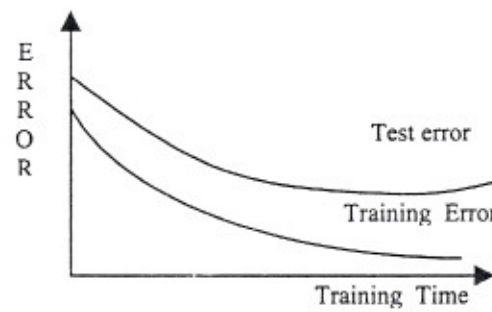
در بعضی نقاط، بویژه در مراحل بعدی یادگیری، داده های ناکافی تأثیر خود را نشان داده و با اینکه خطای آموزش کاهش می باید خطای آزمایش شروع به افزایش می کند [۲۹]. یک روش برای پرهیز از Overfitting این است که توانانی تعمیم را بهینگام آموزش تخمین زده و زمانیکه شروع به کاهش می کند آموزش را قطع نماییم. ساده ترین روش این است که الگوها را به دو گروه الگوهای آموزش و الگوهای تصدیق^۱ تقسیم کنیم. الگوهای آموزش برای تغییر دادن وزنها استفاده می شود و الگوهای تصدیق برای تخمین توانانی تعمیم استفاده شده و آموزش زمانی متوقف می شود که خطا روی الگوهای تصدیق شروع به افزایش کند. این روش موقعیکه الگوهای کمی برای آموزش در اختیار می باشد بدليل اینکه الگوهای تصدیق نمی توانند برای آموزش مورد استفاده قرار گیرد عملی نمی باشد [۳۲] - [۳۰]. یک راه دیگر برای دوری جستن از Overtraining این است که توانایی شبکه در بهره گیری از همبستگیهای نادرست در الگوها را محدود کنیم. Overtraining موقعي اتفاق می افتد که درجه آزادی شبکه (تعداد وزنها) بیشتر از الگوهای آموزش باشد. با اینکه شبکه با اعمال الگوهای آموزش جواب دقیقی را بدست میدهد

ولی ممکن است در نقاط دیگر خیلی بد عمل کند. شبکه های کوچک در کنار قدرت تعیین بالا مزیتهای دیگری را نیز بهمراه دارند. معمولاً اینها را میتوان خیلی سریع و با هزینه کمتری پیاده سازی کرد. تئوریها و فرمولهایی برای تخمین اندازه مورد نیاز سیستم، مورد استفاده قرار گرفته است [۲۴]-[۲۵].

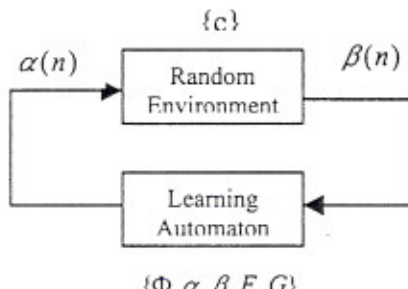
این روشها پیچیدگی سیستم پادگیری و تعداد الگوهای مورد نیاز برای پادگیری یک تابع را بهم ربط میدهند. اگر تعداد الگوها نسبت به پیچیدگی سیستم کوچک باشد. در اینصورت انتظار داریم خطای تعیین زیاد باشد. شکل های ۲ و ۳ تأثیر شاخه زنی را نشان میدهد. شکل ۲ مزهای تشکیل شده توسط یک شبکه ۴ لایه با دو ورودی، ۲ لایه مخفی با ۵۰ نرون در لایه مخفی اول و ۱۰ نرون در لایه مخفی دوم و یک خروجی را نشان میدهد. شبکه دارای ۶۷۱ وزن بوده اما فقط ۳۱ الگو برای آموزش وجود دارد. با این تعداد پارامترهای شبکه در مقایسه با تعداد الگوها خیلی زیاد میباشد. گرچه داده ها تقریباً بطور خطی جدا بذیرند (با کمی همپوشانی در توزیعی مرز) با اینحال مرز طبقه بندي شبکه خیلی غیر خطی بوده و احتمالاً قدرت تعیین خوبی روی داده های اضافه دیگر از همان تابع، بخواهد داشت. شکل ۳ همان شبکه را پس از شاخه زنی نشان میدهد. اندازه شبکه به ۲/۲۲/۱ با ۱۵ وزن تقلیل پیدا کرده و مرز تخصیص گیری شده باکنواخت میباشد. روش های پیچیده تر می تواند شبکه را به یک شبکه یک بعدی فقط با ۲ وزن تقلیل دهد. مثال همچنان نشان میدهد که در شاخه زنی میتواند بعنوان ابزاری برای انتخاب ویژگی^۱ مورد استفاده قرار گیرد. اگر ورودیها خاصی برای مسئله مهم نباشد الگوریتم، اتصالات سربوط به آنرا قطع خواهد کرد.



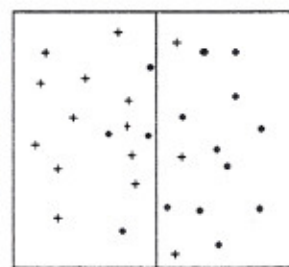
شکل ۲: مزهای تصمیم گیری مربوط به الگوهای آزمایشی و آموزشی



شکل ۱: تغییرات خطای مربوط به الگوهای آزمایشی و آموزشی



شکل ۴: اتصال فیدبک اتوماتان و محیط



شکل ۳: مرز تصمیم گیری مربوط به شبکه هرس شده

-۴- اتوماتان پادگیر

اتوماتان پادگیر^۲ (LA) را می توان به دو گروه اصلی اتوماتان پادگیر با ساختار ثابت^۳ (FSLA) و اتوماتان پادگیر با ساختار متغیر^۴ (VSLA) تقسیم کرد [۳۹]-[۲۶]. اگر احتمال انتقال از یک حالت به حالت دیگر و احتمالهای اقدام و حالت ثابت باشند، اتوماتان با ساختار ثابت، در غیر این صورت اتوماتان با ساختار متغیر نامیده می شود. بعضی از انواع FSLA عبارتند از اتوماتانهای Krinsky، Tsetline، Krylov و اتوماتان پادگیر با ساختار ثابت یک پنج تایی بصورت $\langle \Phi, \alpha, \beta, F, G \rangle$ می باشد که در آن داریم:

(۱) $\alpha = (\alpha_1, \dots, \alpha_n)$ مجموعه اقدامهاست که در هر مرحله یکی از این اقدامها انتخاب می شود.

(۲) $\Phi = (\Phi_1, \dots, \Phi_n)$ مجموعه حالتهاست.

(۳) $\beta = \{0,1\}$ مجموعه ورودیهاست که در آن ۱ جریمه و ۰ پاداش را نشان می دهد.

(۴) $F \times \Phi \rightarrow \Phi$: نگاشت انتقال نامیده می شود. این نگاشت، انتقال حالتها اتوماتان پس از دریافت ورودی را تعریف می کند. F می تواند استوکستیک^۵ باشد.

1)Feature

2) Learning Automata

3) Fixed Structure Learning Automata

4) Variable Structure Learning Automata

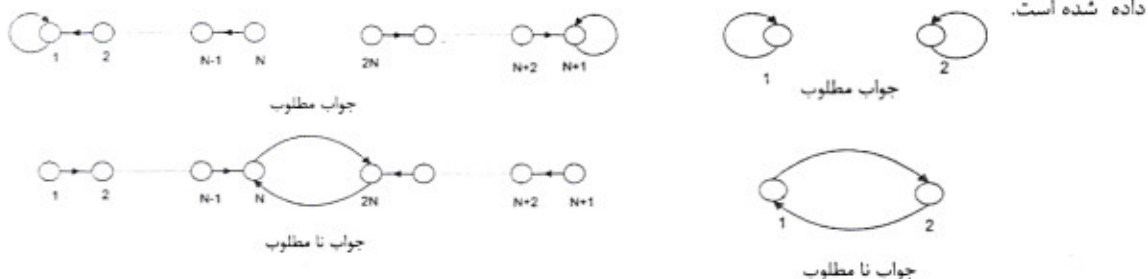
5) Stochastic

(۵) $G : \Phi \longrightarrow \alpha$ نگاشت خروجی بوده و اقدامات در حالت Φ را نشان میدهد.

اقدام انتخاب شده بعنوان ورودی به محیط اعمال شده و محیط در واکنش به آن پاسخ تصادفی $(n)\beta$ را در لحظه n تولید می کند. عنصری از $\beta = \{0,1\}$ بوده و پاسخ فیدبک محیط، به اتماتان می باشد. محیط اتماتان را با احتمال c_i جریمه کرده $(i=1, \dots, \beta(n))$ که این احتمال وابسته به اقدام می باشد. بر اساس پاسخ $(n)\beta$ ، حالت اتماتان $(n)\Phi$ تغییر یافته و اقدام جدیدی در لحظه $n+1$ انتخاب می شود. نحوه اتصال اتماتان و محیط در شکل (۴) نشان داده شده است.

اتوماتان با دو حالت ($L_{2,2}$)

این اتماتان دارای دو حالت Φ_1 و Φ_2 و دو اقدام α_1 و α_2 می باشد. اتماتان از مجموعه $\{0,1\}$ ورودی گرفته، با دریافت ورودی ۱ (پاسخ نامطلوب) تغییر حالت داده و با دریافت ورودی ۰ (پاسخ مطلوب) در همان حالت باقی می ماند. اتماتانی که از این استراتژی استفاده کنند با $L_{2,2}$ نشان داده می شود. زیرنویس اول تعداد حالتها و زیرنویس دوم تعداد اقدامها را نشان می دهد. نحوه انتقال حالت در شکل (۵) نشان داده شده است.



شکل ۵: گراف انتقال حالت برای $L_{2,2}$

شکل ۵: گراف انتقال حالت برای $L_{2,2}$

اتوماتان دو اقدامی با حافظه ($L_{2N,2}$)

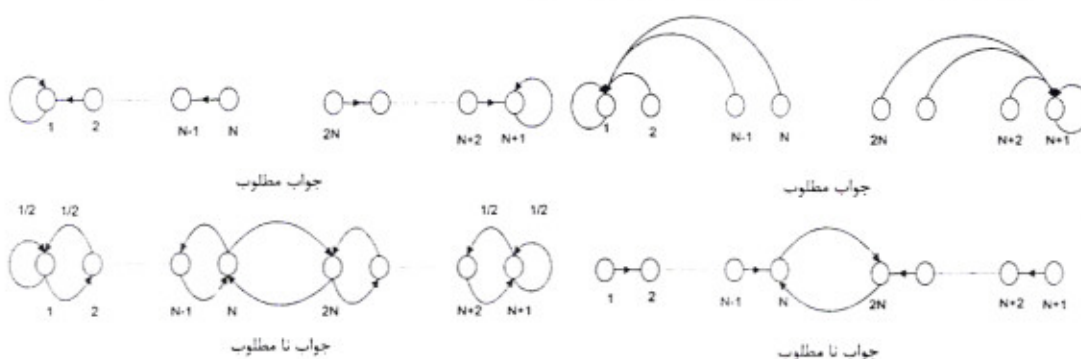
این اتماتان دارای $2N$ حالت و دو اقدام بوده و رفتار گذشته سیستم را در قانون تصمیم گیری برای انتخاب رشته اقدام دخالت میدهد. جنابه گدیدم اتماتان $L_{2,2}$ با دریافت پاسخ نامطلوب از محیط، از یک اقدام به اقدام دیگر سوچیج می کند. در صورتیکه اتماتان $L_{2N,2}$ وقتی که در داخلی ترین حالت قرار گرفته باشد برای انتقال به اقدام دیگر نیاز به N پاسخ نامطلوب متوالی دارد. N عمق حافظه اقدام نامیده شده و می گوییم اتماتان دارای تعداد N حافظه می باشد. برای هر پاسخ مطلوب، حالت اتماتان به سمت حالت‌های داخلی تر حرکت می کند و به ازای پاسخ نامطلوب به سمت حالت‌های بیرونی تر میل میکند. گراف انتقال حالت اتماتان $L_{2N,2}$ در شکل (۶) نشان داده شده است.

اتوماتان Krinsky

این اتماتان موقعیکه پاسخ محیط نامطلوب باشد. دقیقاً مثل $L_{2N,2}$ رفتار می کند. اما برای پاسخ مطلوب، هر حالت Φ_i (برای $i=1, \dots, N$) به حالت Φ_i می رود و هر حالت Φ_i (برای $i=N+1, \dots, 2N$) به حالت Φ_{i-N} می رود. لذا پس از هر پاسخ مطلوب تعداد N پاسخ نامطلوب لازم است تا اتماتان از یک اقدام به اقدام دیگر سوچیج کند. گراف انتقال حالت اتماتان Krinsky در شکل (۷) نشان داده شده است.

اتوماتان Krylov

این اتماتان موقعیکه خروجی محیط مطلوب باشد انتقال حالت مشابه $L_{2N,2}$ دارد. ولی موقعیکه پاسخ محیط نامطلوب باشد حالت Φ_i (برای $i \neq 1, N, N+1, 2N$) با احتمال $1/5$ به حالت Φ_{i-1} و با احتمال $1/5$ به حالت Φ_{i+1} می رود. موقعیکه $i=N+1$ یا $i=1$ با احتمال $1/5$ در همان حالت باقی می ماند. و با همان احتمال به حالت Φ_{i-1} می رود. موقعیکه N می رود. موقعیکه N می باشد اتماتان با احتمال $1/5$ به حالت $2N$ می رود و با همان احتمال به حالت $N-1$ می رود و بالآخره موقعیکه $2N$ می باشد اتماتان با احتمال $1/5$ به حالت N و با همان احتمال به حالت 1 می رود. گراف انتقال حالت این اتماتان در شکل (۸) نشان داده شده است.



شکل ۶: گراف انتقال حالت برای اتماتان Krinsky

شکل ۶: گراف انتقال حالت برای اتماتان Krinsky

اتوماتان با ساختار متغیر:

اتوماتان با ساختار متغیر، احتمالهای انتقال یا احتمالهای اقدام را بر اساس ورودی تغییر می‌دهد. این نوع اتوماتان توسط شش تابی $\beta, \Phi, \alpha, P, G, T$ نمایش داده می‌شود. که در آن β مجموعه ورودیها، Φ مجموعه حالتها داخلی، α مجموعه خروجیها و P بردار احتمال اقدامهای است. که بر اساس آن در هر مرحله اقدامی انتخاب می‌شود. G نگاشت خروجی و T الگوریتم یادگیری را نشان می‌دهد. الگوریتم یادگیری یک رابطه برگشتی بوده و برای تغییر دادن بردار احتمال مورد استفاده قرار می‌گیرد. الگوریتم‌های یادگیری مختلفی در مرجع [۲۶] گزارش شده است. الگوریتم یادگیری پاداش- جرمیه خطی^۱ (L_{R-T}) جزء اولین روشها می‌باشد. فرض کنیم در لحظه k ، اقدام α_i از مجموعه اقدامها با توجه به توزیع (k) p انتخاب شود. در الگوریتم L_{R-T} معادله برگشتی برای تغییر p به صورت زیر تعریف می‌شود.

$$p_i(n+1) = p_i(n) + a[1 - p_j(n)] \quad \beta(n) = 0 \quad \text{پاسخ مطلوب} \quad (5)$$

$$p_j(n+1) = (1-a)p_j(n) \quad j \neq i \quad \beta(n) = 1 \quad \text{پاسخ نامطلوب} \quad (6)$$

$$p_i(n+1) = (1-b)p_i(n) \quad \beta(n) = 1 \quad \text{پاسخ نامطلوب} \quad (6)$$

$$p_j(n+1) = b/(r-1) + (1-b)p_j(n) \quad j \neq i \quad \beta(n) = 1 \quad \text{پاسخ مطلوب} \quad (5)$$

پارامترهای a و b طول گسام را نشان داده، مقدار افزایش (کاهش) احتمال اقدامها را تعیین می‌کند. الگوریتم یادگیری دیگری که اکثر آن مورد استفاده قرار می‌گیرد الگوریتم پاداش - بیحرکت خطی^۱ (L_{R-T}) می‌باشد. در L_{R-T} به ازای پاسخ مطلوب $0 = \beta(n)$ احتمال متضطر را اقدام α افزایش یافته و بقیه احتمالها کاهش می‌یابند. ولی به ازای پاسخ نامطلوب $1 = \beta(n)$ هیچگونه تغییری در احتمالها صورت نمی‌گیرد. معادله برگشتی برای تغییر P به صورت زیر می‌باشد.

$$p_i(n+1) = p_i(n) + a[1 - p_j(n)] \quad \beta(n) = 0 \quad \text{پاسخ مطلوب} \quad (7)$$

$$p_j(n+1) = (1-a)p_j(n) \quad j \neq i \quad \beta(n) = 1 \quad \text{پاسخ نامطلوب} \quad (8)$$

در روابط فوق تعداد اقدامها را نشان میدهد.

اتوماتان مهاجرت اشیاء:

اتوماتان مهاجرت اشیاء [۴۲] توسط پنج تابی $\alpha, \Phi, \beta, F, G$ نشان داده می‌شود. که $\alpha = \{\alpha_1, \alpha_2, \dots, \alpha_r\}$ مجموعه اقدامهای مجاز، $\Phi = \{\Phi_1, \Phi_2, \dots, \Phi_r\}$ مجموعه وضعیتها، $\beta = \{\beta_1, \beta_2, \dots, \beta_r\}$ مجموعه ورودیها، $F : \Phi \times \beta \rightarrow \Phi$ تابع نگاشت وضعیتها و $\alpha : \Phi \rightarrow G$ تابع نگاشت خروجی اتوماتان می‌باشد. این نوع اتوماتان برای دسته بندی اشیاء، انتساب حروف به کلیدها، افزار گراف^۲، تناظر گراف و تعیین تعداد واحدهای مخفی شبکه های عصبی [۴۰] مورد استفاده قرار گرفته است. در این اتوماتان هر اقدام یک دسته از الگوها را نشان میدهد. در اتوماتانهای با ساختار ثابت پاسخ محیط به اتوماتان سبب تغییر وضعیت اتوماتان می‌گردد. در صورتیکه در اتوماتان مهاجرت اشیاء، اشیاء به وضعیت های اتوماتان انتساب داده می‌شوند و پاسخ محیط به اتوماتان سبب گردش اشیاء در بین وضعیت های اتوماتان می‌گردد. از طریق این گردش طبقه بندی اشیاء صورت می‌گیرد. اگرچه W در اقدام شماره از اتوماتان مهاجرت اشیاء قرار داشته باشد. این شی متعلق به دسته شماره j است. برای اقدام α_i مجموعه وضعیت $\{\Phi_{(i-1)N+1}, \dots, \Phi_{(i-1)N+m}\}$ در نظر گرفته می‌شود. که N عمق حافظه را نشان میدهد. بدون از دست دادن عمومیت بحث میتوان $\Phi_{(i-1)N+1}, \dots, \Phi_{(i-1)N+m}$ را داخلی ترین وضعیت و Φ_{mN} را خارجی ترین وضعیت این اقدام در نظر گرفت. اگردو W_i و W_m بترتیب در وضعیت های $\Phi_{(i-1)N+1}, \dots, \Phi_{(i-1)N+m}$ (برای $m > 1$) قرار داشته باشند در اینصورت احتمال تعلق شی W_i به این دسته از احتمال تعلق شی W_m بیشتر است. بنابر این برای اقدام α_i ، وضعیت $\alpha_{(i-1)N+1}, \dots, \alpha_{(i-1)N+m}$ ، وضعیت با بیشترین احتمال و وضعیت Φ_{mN} ، وضعیت با کمترین احتمال نامیده می‌شود.

۵- الگوریتم پیشنهادی

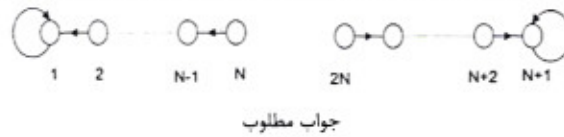
در این قسمت ابتدا بطور مختصر الگوریتم کاهش تعداد وزن ارائه شده در مرجع [۴۲] را شرح داده در ادامه، الگوریتم جدیدی را ارائه می‌کنیم. الگوریتم کاهش تعداد وزن: در این الگوریتم از یک اتوماتان استفاده شده است برای سادگی در ارائه مطلب اتوماتان بصورت $HWLA(2, N, W)$ نشان داده شده است که در آن عدد ۲ تعداد اقدامها، N عمق حافظه و W وزنهای ورودی لایه مخفی را نشان میدهد. این اتوماتان برای تعیین تعداد وزنهای لایه مخفی است که دارای دو اقدام و عمق حافظه N است. و روی وضعیت های آن مجموعه وزن $\{W_1, W_2, W_3, \dots, W_m\}$ قرار دارد. گراف تغییر حالت برای اتوماتان تعیین تعداد وزنهای لایه مخفی شبکه در شکل ۹ نشان داده شده است. این الگوریتم نحوه اتصال وزنهای بین لایه ورودی و لایه مخفی را مشخص می‌کند. در ابتدا همه وزنهای موجود در شبکه در وضعیت Φ قرار می‌گیرند. به همه وزنهای روشی مدتی اجازه داده می‌شود تا در آموزش شبکه شرکت نمایند. وزنهایی که عملکرد آنها در این مدت مناسب نیست

- 1) Linear Reward-Penalty
- 2) Linear Reward-Inaction
- 3) Graph Partitioning

جريدة میشوند، وزنهایی که عملکرد آنها خیلی خوب است پاداش میگیرند و وزنهایی که در مورد آنها نمیتوان تصمیم گیری قطعی نمود بدون تغییر وضعیت باقی میمانند. برای تشخیص خوب یا بد بودن عملکرد یک وزن از قدرت انتشار این وزن (قدر مطلق مقدار وزن) استفاده میشود که توسط دو قانون مکانیفهای زیر بیان میشود.

عملکرد خوب یک وزن: وزنی دارای عملکرد خوب میباشد که سیگنال وارد شده به این وزن بمیزان زیادی تضعیف نگردد و یا به عبارتی دیگر قدر مطلق آن کوچک نباشد.

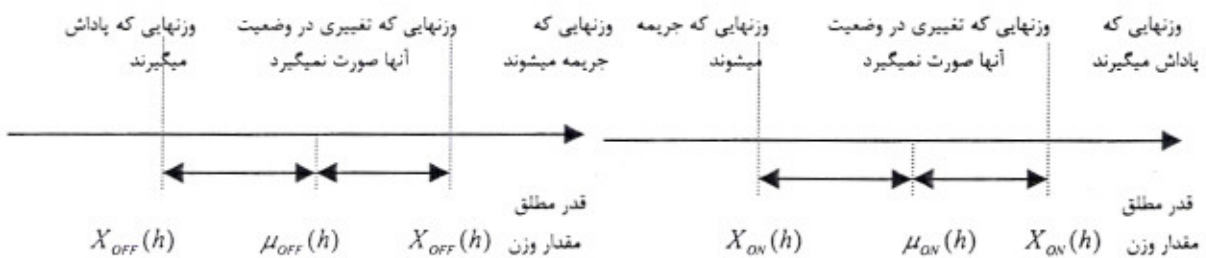
عملکرد بد یک وزن: وزنی دارای عملکرد بد میباشد اگر سیگنال وارد شده به این وزن بمیزان زیادی تضعیف گردد و یا به عبارتی دیگر قدر مطلق آن کوچک باشد.



شکل ۹: اثومان (2, N, 1)

تشخیص نحوه عملکرد یک وزن روش: الگوریتم پس انتشار خطرا به دفعات معینی تکرار میکنیم در انتها اگر قدر مطلق وزنی از یک مقدار آستانه ای بیشتر باشد آن وزن مناسب بوده و اگر از یک مقدار آستانه ای دیگر کوچک باشد نامناسب میباشد. برای تعیین مقادیر آستانه ای از واریانس قدر مطلق مقدار وزنها استفاده شده است. برای وزنهای مربوط به هر کدام از نزونها، واریانس بصورت زیر محاسبه میگردد.

$$\sigma_h = \sqrt{\frac{\sum_{w_h \in ON_w(h)} (|W_{hw}| - \mu_w(h))^2}{|ON_w(h)|}} \quad h \in ON \quad (9)$$



شکل ۱۱: تشخیص مقدار آستانه وزنها روش

شکل ۱۰: تشخیص مقدار آستانه وزنها روش

که در آن ON مجموعه واحدهای روشن، (h) مجموعه وزنها ورودی روشن متصل به واحد مخفی h و $\mu_w(h)$ میانگین قدر مطلق وزنها ورودی روشن متصل به واحد مخفی h میباشد. پس از محاسبه واریانس، وزنها روشنی که قدر مطلق مقدار آنها از یک مقدار آستانه ای کمتر باشد جریمه میشوند و وزنها روشنی که قدر مطلق آنها از یک مقدار آستانه ای دیگر بیشتر باشد پاداش میگیرند و وزنها روشنی که قدر مطلق مقدار آنها بین دو مقدار آستانه ای قرار میگیرند تغییری در وضعیت آنها ایجاد نمیشود (شکل ۱۰). پهنای روشنی نامیده شده و بصورت زیر محاسبه میگردد.

$$X_{ON}(h) = \lambda_{ON} \frac{OFF_w(h)}{\# INPUT + 1} \sigma_h \quad (10)$$

ثابت $\lambda_{ON} > OFF_w(h)$ ضریب پهنای روشنی، #INPUT تعداد واحدهای لایه ورودی و $OFF_w(h)$ مجموعه وزنها خاموش متصل به واحد مخفی روشن h است.

تشخیص نحوه عملکرد یک وزن خاموش: یک وزن خاموش در آموزش شرکت نمیکند. بنابر این مقدار آنرا از آخرین زمان روشن بودن آن محاسبه میکنیم. اگر یک وزن برای مدت طولانی خاموش باشد از اهمیت و در نتیجه از مقدار آن کاسته میشود. بنابر این مقدار یک وزن خاموش بصورت زیر محاسبه میشود.

$$W_{hi}(n+1) = W_{hi}(n) \lambda_i \quad (11)$$

که ثابت $1 < \lambda < 2$ ضریب کاهش مقدار وزن نامیده میشود. به این ترتیب مقدار یک وزن خاموش بتدربیح کم میشود. واریانس وزنهای خاموش بصورت زیر محاسبه میشود.

$$\sigma_h = \sqrt{\frac{\sum_{W_h \in OFF_h(h)} (W_h - \mu_{OFF}(h))^2}{|OFF_h(h)|}} \quad h \in ON \quad (12)$$

که در آن ON مجموعه واحدهای روشن و (h) میانگین قدر مطلق مقدار وزنهای خاموش متصل به واحد مخفی روشن h میباشد. با استفاده از واریانس و طبق فرمول زیر $X_{OFF}(h)$ که پهنای خاموشی نامیده میشود بصورت زیر محاسبه میگردد.

$$X_{OFF}(h) = \lambda_{OFF} \frac{|ON_h(h)|}{|\# INPUT + 1|} \sigma_h \quad (13)$$

که ثابت $1 < \lambda_{OFF} < 2$ ضریب پهنای خاموشی $\# INPUT$ عدد واحدهای لایه ورودی است. وزنهایی که قدر مطلق مقدار آنها از $\mu_{OFF}(h) - X_{OFF}(h)$ کمتر باشد پاداش میگیرند. وزنهایی که قدر مطلق آنها از $(\mu_{OFF}(h) + X_{OFF}(h))$ بیشتر باشند جریمه میشوند. وزنهایی که قدر مطلق آنها در فاصله $[\mu_{OFF}(h) - X_{OFF}(h), \mu_{OFF}(h) + X_{OFF}(h)]$ قرار دارند وضعیت آنها تغییر نمیکند(شکل ۱۱).

الگوریتم تعیین تعداد وزن تطبیقی: مقدار $X_{ON}(h)$ که بازه تصمیم گیری را نشان میدهد تأثیر بسازانی در عملکرد الگوریتم کاهش تعداد وزن دارد. وزنهای روشنی که قدر مطلق آنها کمتر از $X_{ON}(h) - \mu_{ON}(h)$ می باشد جریمه شده و وزنهای روشنی که قدر مطلق آنها بیشتر از $X_{ON}(h) + \mu_{ON}(h)$ می باشد پاداش میگیرند. هر قدر مقدار بازه (h) کم باشد وزنهای بیشتری جریمه شده در نتیجه وزنهای با سرعت بیشتری ریزش خواهد کرد. اگر این سرعت از یک حدی بیشتر باشد شبکه دیگر قادر به یادگیری الگوهای آموزشی تغییر نخواهد بود. اگر مقادیر $X_{ON}(h)$ خیلی زیاد انتخاب شود شرط جریمه کردن وزنهای روشن خیلی سنگین شده، در نتیجه وزن خاموش نشده یا تعداد بسیار کمی وزن خاموش خواهد شد. در نتیجه شاهد هیچگونه کاهشی در پیجیدگی شبکه نخواهیم بود. پس ملاحظه میکنیم مقدار $X_{ON}(h)$ خیلی مهم بوده و با انتخاب یک مقدار بهینه برای $X_{ON}(h)$ میتوانیم در کمترین زمان به شبکه هایی با حداقل تعداد وزن که بتواند با خطای قابل قبولی نیز الگوهای آموزش را یاد بگیرد برسیم. پارامتر $X_{ON}(h)$ براساس فرمول زیرتابع چندین متغیر می باشد.

$$X_{ON}(h) = \lambda_{ON} \frac{OFF_h(h)}{|\# INPUT + 1|} \sigma_{ON}(h) \quad (14)$$

#INPUT بعد فضای ورودی بوده و برای یک مسئله خاص مقدار ثابتی می باشد. $OFF_h(h)$ تعداد وزنهای خاموش را نشان داده و بعنوان یک عامل بازدارنده در مقابل ریزش بیش از حد وزنهای عمل میکند. با حذف تدریجی وزنهای مقدار عبارت $OFF_h(h)$ افزایش یافته و باعث افزایش $X_{ON}(h)$ میگردد. با افزایش $X_{ON}(h)$ از سرعت ریزش وزنهای کاسته میشود. λ_{ON} مقدار ثابتی بوده و ضریب پهنای روشنی نامیده میشود. $\sigma_{ON}(h)$ واریانس وزنهای روشن مربوط به نرون مخفی h میباشد. بعهایی که در مورد بازه $X_{ON}(h)$ مطرح کردیم در مورد بازه $X_{OFF}(h)$ نیز قابل طرح میباشد. $X_{OFF}(h)$ که بازه تصمیم گیری برای وزنهای خاموش را نشان میدهد تأثیر بسازانی در عملکرد الگوریتم کاهش تعداد وزن دارد. وزنهای خاموشی که قدر مطلق آنها کمتر از $X_{OFF}(h) - \mu_{OFF}(h)$ می باشد پاداش میگیرند و وزنهای خاموشی که قدر مطلق آنها بیشتر از $X_{OFF}(h) + \mu_{OFF}(h)$ می باشد جریمه میشوند. هر قدر مقدار بازه (h) کم باشد وزنهای خاموش بیشتری جریمه شده در نتیجه وزنهای خاموش با سرعت بیشتری شروع به رونش شدن میکند و اگر مقدار $X_{ON}(h)$ خیلی زیاد انتخاب شود شرط جریمه کردن وزنهای خاموش خیلی سنگین شده، در نتیجه وزن روشن نشده یا تعداد بسیار کمی وزن روشن میشوند. در نتیجه آنجاییکه نیاز داریم وزنهایی به شبکه برگردانده شوند وزن نمیشود. پس ملاحظه میکنیم مقدار $X_{OFF}(h)$ خیلی مهم بوده و با انتخاب یک مقدار بهینه برای $X_{OFF}(h)$ میتوانیم در کمترین زمان به شبکه هایی احداقل تعداد وزن که بتواند با خطای قابل قبولی نیز الگوهای آموزش را یاد بگیرد برسیم. پارامتر $X_{OFF}(h)$ براساس فرمول زیرتابع چندین متغیر می باشد.

$$X_{OFF}(h) = \lambda_{OFF} \frac{|ON_h(h)|}{|\# INPUT + 1|} \sigma_{OFF}(h) \quad (15)$$

#INPUT بعد فضای ورودی بوده و برای یک مسئله خاص مقدار ثابتی می باشد. $ON_h(h)$ تعداد وزنهای روشن را نشان داده و بعنوان یک عامل بازدارنده در مقابل برگشت بیش از حد وزنهای عمل میکند. λ_{OFF} مقدار ثابتی بوده و ضریب پهنای خاموشی نامیده میشود. $\sigma_{OFF}(h)$ واریانس وزنهای خاموش مربوط به نرون مخفی h میباشد.

سطح خطای شبکه های MLP با الگوریتم یادگیری BP، برای حالتی که درجه سطوح از درجه دوم به بالا میباشد بسیار پیچیده بوده و دارای مناطق مسطح و مناطق با شبکه زند زیادی میباشد. علاوه بر این چون با اعمال الگوریتم کاهش تعداد وزن، توبولوژی و تعداد وزنهای دائماً در حال تغییر میباشد لذا سطح خطای دائماً در حال تغییر بوده، نتیجه شکل آن بسیار پیچیده و تصادفی خواهد بود در نتیجه در نقاط مختلف سطح خطای و در طول یادگیری حسابیت شبکه نسبت به حذف وزن متفاوت خواهد بود در بعضی از نقاط حسابیت شبکه کم بوده و میتوان با سرعت بیشتری عمل ریزش وزن را انجام داد و در برخی نقاط حساسیت زیاد بوده و سرعت بالای ریزش وزن، خطروناک بوده و میتواند باعث نابایدی گردد. لذا برای دستیابی به شبکه هایی با کمترین پیچیدگی و در کمترین زمان، نیاز به الگوریتمهای داریم که بتواند بطور بیوای سرعت عمل شاخه

زنی و بر گشت وزن را بر اساس معیاری تغییر دهد. چنانچه قبل از توضیح دادیم سرعت عمل شاخه زنی وابسته به پارامتر ($X_{ON}(h)$ و سرعت عمل برگشت وزن تابعی از پارامتر ($X_{OFF}(h)$) می باشد و با تغییر آنها میتوان سرعت شاخه زنی و سرعت روشن شدن وزنهای خاموش را کنترل کرد.

Input:

Training Patterns (p,t), p is input and t is desired output
No. of Hidden Units H

Output:

Network Weight Vector:W

Network Topology

Initialize Weights and baises, Automata Parameters and

Learning Parameters

for i=1:100

 for i=1:K

 Call BP

 end

 MinimumOfError_new=minimum(Error Vector);

 Select an Action from on_width_coefficient set

 Select an Action from off_width_coefficient set

 for all Hidden Neurons

 for all weights

 if W_state >= N+1 % if weight is OFF

 W = W*WEIGHT_DECAY_COEFFICIENT

 end

 end

 end

 Compute Xon, Xoff

 for all weights

 if W_state >= N+1 % if weight is OFF

 if abs(W) < Average_off - Xoff

 if W_state == (N+1)

 W_state = W_state + 1

 elseif W_state == (N+1)

 W_state = W_state

 end

 elseif abs(W) > Average_off + Xoff

 if W_state == (2*N)

 W_state = W_state + 1;

 elseif W_state == (2*N)

 W_state = N;

 end

 end

 else % if weight is ON,

 if abs(W) < Average_on - Xon

 if W_state == N

 W_state = N+1;

 else

 W_state = W_state + 1;

 end

 elseif abs(W) > Average_on + Xon

 if W_state > 1

 W_state = W_state - 1;

 else

 W_state = W_state;

 end

 end

 end

 end

 if MinOfError_new / MinOfError > MAX_ERR_RATIO

 EnvironmentResponce=1;

 else

 EnvironmentResponce=0;

 end

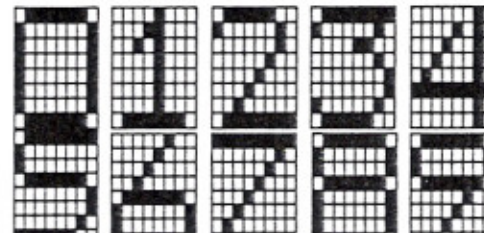
 Update_Tsetlin_State_λ_{ON} (EnvironmentResponce)

 Update_Tsetlin_State_λ_{OFF} (EnvironmentResponce)

end

شکل ۱۲: الگوریتم تعیین وزن تطبیقی

برای تنظیم و تطبیق ($X_{OFF}(h)$ و ($X_{ON}(h)$ میتوان بترتیب از ضرائب λ_{ON} و λ_{OFF} استفاده کرد. در این مقاله با استفاده از اتوماتانهای میگیریم ضرائب λ_{ON} و λ_{OFF} را تطبیق داده ایم. الگوریتم پیشنهادی بصورت زیر عمل میکند. در ابتدا تمامی وزنهای موجود در شبکه در وضعیت Φ قرار میگیرند. به همه وزنهای روشن مدتی اجازه داده میشود تا در آموزش شبکه شرکت نمایند. وزنهایی که عملکرد آنها در این مدت مناسب نیست جریمه میشوند، وزنهایی که عملکرد آنها خوب است پاداش میگیرند و وزنهایی که در مورد آنها نمیتوان تصمیم گیری قطعی نمود بدون



شکل ۱۳: نحوه نمایش اعداد از ۱ تا ۹

جدول (۱): نحوه گذ کردن اعداد از ۱ تا ۹

عدد	بیت ۳	بیت ۲	بیت ۱	بیت ۰
۰	-1	-1	-1	-1
۱	-1	-1	-1	1
۲	-1	-1	1	-1
۳	-1	-1	1	1
۴	-1	1	-1	-1
۵	-1	1	-1	1
۶	-1	1	1	-1
۷	-1	1	1	1
۸	1	-1	-1	-1
۹	1	-1	-1	1

• ۱۲۳۴۵۶۷۸۹

شکل ۱۴: اعداد چاپی فارسی

تغییر وضعیت باقی میمانند. برای پاسخ دادن به اتماتان مربوط به تنظیم پارامترهای ضرائب پهنهای روشی و خاموشی (θ_{ON} و θ_{OFF}) از معیار خطا کمک میگیریم. مینیمم مقدار خطا در تکرار فعلی را با مینیمم مقدار خطا در تکرار قبلی مقایسه میکنیم اگر با یک ضریبی خطا افزایش پیدا کرده بود اتماتان را جرمیمه میکنیم در غیر اینصورت به آن پاداش میدهیم. برای تطبیق هر کدام از پارامترهای اتماتان Tsetline استفاده کرده ایم. الگوریتم جدید را که تحت عنوان الگوریتم تعیین تعداد وزن تطبیقی می نامیم در شکل ۱۲ نشان داده شده است.

۶- نتایج شبیه سازی

در این قسمت ۳ مسئله نمونه که الگوریتم پیشنهادی روی آنها پیاده سازی شده است معرفی میگردد. در ادامه نتایج آزمایشات ارائه خواهد شد.

الف) مسئله شناسایی اعداد لاتین: در این مسئله می خواهیم شبکه ای را آموزش بدهیم که بتواند اعداد از ۰ تا ۹۹ را تشخیص دهد. برای این منظور اعداد را مطابق شکل (۱۳) نمایش میدهیم. برای هر عدد یک ماتریس 8×8 در نظر می گیریم. خانه های سیاه را با ۱ و خانه های سفید را با -۱ نشان میدهیم. اعداد ۰ تا ۹ را می توان مطابق جدول (۱) با چهار بیت گذ کرد. لذا خروجی شبکه دارای ۴ نرون خواهد بود. از یک شبکه سه لایه با ۶۴ نرون در لایه ورودی و ۴ نرون در لایه خروجی استفاده کرده ایم. برای آزمایشها مختلف تعداد نرونها لایه خروجی را بین ۱۵ و ۲۲ تغییر میدهیم.

ب) مسئله تقریب تابع غیر خطی زمان گستته درجه دوم: تابع غیر خطی زمان گستته از مرتبه دوم با رابطه زیر مفروض می باشد.

$$y_{4,1} = \frac{1.5y_4y_{4,-1}}{1+y_4^2+y_{4,-1}^2} + 0.35(y_4 + y_{4,-1}) + 1.2u_4 \quad (16)$$

می خواهیم با استفاده از یک شبکه عصبی سه لایه تابع فوق را با تقریب قابل قبولی شبیه سازی کنیم. برای این منظور ورودیهایی بین -۱ و ۱+ بطور تصادفی ایجاد کرده و به تابع اعمال می کنیم شرایط اولیه را نیز بطور تصادفی بین -۱ و ۱+ انتخاب می کنیم بدین ترتیب یک سری الگوی آموزش ایجاد می شود که از این الگوهای برای آموزش شبکه استفاده می کنیم. در رابطه فوق، y_4 و $y_{4,-1}$ به ترتیب ورودی و خروجی در لحظه k بوده و y_4 و $y_{4,-1}$ به ترتیب خروجی در لحظات k-1 و k+1 می باشد. برای تقریب تابع از یک شبکه عصبی سه لایه با ۳ نرون در لایه ورودی و ۱ نرون در لایه خروجی استفاده کرده ایم. تعداد نرونها لایه میانی را برای آزمایشها مختلف بین ۸ و ۲۵ تغییر میدهیم.

ج) مسئله تشخیص اعداد چاپی فارسی:

در این مسئله هدف تشخیص اعداد چاپی فارسی میباشد (شکل ۱۴). این اعداد روی یک صفحه کاغذ چاپ شده اند. اعداد فارسی از طریق یک دستگاه پویشگر با قدرت تفکیک ۳۰۰ نقطه در اینچ نمونه برداری گردیده است.

پس از جدا سازی حروف در تصویر، ثابت های گشتاور، M_1 تا M_7 که توسط روابط زیر نشان داده شده اند استخراج شده و ۷ ویژگی ورودیهای شبکه عصبی را تشکیل میدهند.

$$M_1 = \mu_{20} + \mu_{02}, \quad M_2 = (\mu_{20} - \mu_{02})^2 + 4(\mu_{11})^2, \quad M_3 = (\mu_{30} - 3\mu_{12})^2 + (\mu_{21} - 3\mu_{03})^2$$

$$M_4 = (\mu_{30} + 3\mu_{12})^2 + (\mu_{21} + 3\mu_{03})^2$$

$$M_5 = (\mu_{30} - 3\mu_{12})(\mu_{30} + \mu_{12})[(\mu_{30} + \mu_{12})^2 - 3(\mu_{21} + \mu_{03})^2] \\ + (3\mu_{21} - 3\mu_{03})(\mu_{21} + \mu_{03})[3(\mu_{30} + \mu_{12})^2 - (\mu_{21} + \mu_{03})^2]$$

$$M_6 = (\mu_{20} - 3\mu_{02})[(\mu_{30} + \mu_{12})^2 - (\mu_{21} + \mu_{03})^2 + 4\mu_{11}(\mu_{30} + \mu_{12})(\mu_{21} + \mu_{03})]$$

$$M_7 = (3\mu_{21} - \mu_{03})(\mu_{30} + 3\mu_{12})[(\mu_{30} + \mu_{12})^2 - 3(\mu_{21} + \mu_{03})^2] \\ - (\mu_{30} - 3\mu_{12})(\mu_{21} + \mu_{03})[3(\mu_{30} + \mu_{12})^2 - (\mu_{21} + \mu_{03})^2]$$

که μ_{pq} گشتاورهای مقیاس شده از مرتبه $p+q$ برای تصویر یک حرف میباشد. در ادامه نتایج شبیه سازیهای انجام گرفته شده برای مسئله های فوق آورده شده است.

الف) الگوریتم تعیین تعداد وزن: در این الگوریتم همچنانکه قبل توضیح دادیم در ابتدا همه وزنهای موجود در شبکه در وضعیت Φ_1 قرار میگیرند. به همه وزنهای روش مدتی اجازه داده میشود تا در آموزش شبکه شرکت نمایند. وزنهایی که عملکرد آنها در این مدت مناسب نیست جرمیمه میشوند. وزنهایی که عملکرد آنها خیلی خوب است پاداش میگیرند و وزنهایی که در مورد آنها نمیتوان تصمیم گیری قطعی نمود بدون تغییر وضعیت باقی میمانند. در این الگوریتم در طی آموزش ضرائب پهنهای روشی و پهنهای خاموشی مقادیر ثابتی میباشد.

مسئله شناسایی اعداد لاتین: الگوریتم تعیین تعداد وزن برای ۶ شبکه مختلف با شرایط اولیه تصادفی و با تعداد نرونها لایه مخفی متفاوت پیاده سازی شده و نتایج در جدول ۲ نشان داده شده است. برای تعامی شبکه ها از اتماتان (NLA(2, 7, N_{BP}) استفاده شده است. N_{BP} تعداد وزنهای لایه مخفی شبکه در ابتدای الگوریتم می باشد. ضرائب پهنهای روشی و خاموشی ۱۰، ضریب کاهش وزن ۰/۹، تعداد تکرار الگوریتم در هر گام ۵۰، نرخ یادگیری ۰/۱ و ضریب ممنتوم صفر در نظر گرفته شده است. از تابع غیر خطی سیگموئید که بین -۱ و ۱ تغییر میکند بعنوان تابع لایه مخفی و لایه خروجی استفاده شده است. الگوهای آموزش ۵۰۰۰ بار به شبکه اعمال شده است.

مسئله تقریبتابع غیرخطی زمان گسته درجه دوم: الگوریتم تعیین تعداد وزن برای ۶ شبکه مختلف با شرایط اولیه تصادفی و با تعداد نرونها لایه مخفی متفاوت پیاده سازی شده و نتایج در جدول ۳ نشان داده شده است. برای تمامی شبکه ها از اتماتان $N_{HWLA(2, 7, N)}$ استفاده شده است. N تعداد وزنهای لایه مخفی شبکه در ابتدای الگوریتم می باشد. ضرائب پهنهای روشی و خاموشی ۱۰، ضریب کاهش وزن ۰/۹، تعداد تکرار الگوریتم BP در هر گام ۵۰، نرخ یادگیری ۰/۰۱ و ضریب ممتنم ۰/۹۸ در نظر گرفته شده است. از تابع غیرخطی سیگموئید که بین -۱ و +۱ تغییر میکند بعنوان تابع خطی بعنوان تابع لایه خروجی استفاده شده است. الگوهای آموزش ۵۰۰ بار به شبکه اعمال شده است.

مسئله تشخیص اعداد چاپی فارسی: الگوریتم تعیین تعداد وزن برای ۶ شبکه مختلف با شرایط اولیه تصادفی و با تعداد نرونها لایه مخفی متفاوت پیاده سازی شده و نتایج در جدول ۴ نشان داده شده است. برای تمامی شبکه ها از اتماتان $N_{HWLA(2, 20, N)}$ استفاده شده است. N تعداد وزنهای لایه مخفی شبکه در ابتدای الگوریتم می باشد. ضرائب پهنهای روشی و خاموشی ۵، ضریب کاهش وزن ۰/۹، تعداد تکرار الگوریتم BP در هر گام ۵۰، نرخ یادگیری ۰/۰۱ و ضریب ممتنم ۰/۹۸ در نظر گرفته شده است. از تابع غیرخطی سیگموئید که بین -۱ و +۱ تغییر میکند بعنوان تابع لایه مخفی و لایه خروجی استفاده شده است.

ب) الگوریتم تعیین تعداد وزن تطبیقی: الگوریتم تعیین تعداد وزن تطبیقی بصورت زیر عمل میکند. در ابتدا Φ کنایی وزنهای موجود در شبکه در وضعیت Φ قرار میگیرند. به همه وزنهای روشی مدتی اجازه داده میشود تا در آموزش شبکه شرکت نمایند. وزنهایی که عملکرد آنها در این مدت مناسب نیست جریمه میشوند، وزنهایی که عملکرد آنها خوب است پاداش میگیرند و وزنهایی که در مورد آنها نمیتوان تصمیم گیری قطعی نمود بدون تغییر وضعیت باقی میمانند. در این روش بمنظور دستیابی به شبکه هایی با حداقل تعداد لینک بین ورودی و نرونها لایه مخفی، ضرائب پهنهای روشی و خاموشی در طول آموزش تغییر داده میشوند. برای تطبیق این ضرائب از اتماتان Tsetline استفاده شده است. برای پاسخ دادن به اتماتان مربوط به تنظیم پارامترهای ضرائب پهنهای روشی و خاموشی (θ_{OFF} و θ_{ON}) از معیار خطای کمک میگیریم. مینیمم مقدار خطای در تکرار فعلی را با مینیمم مقدار خطای افزایش پیدا کرده بود اتماتان را جریمه میکنیم در غیر اینصورت به آن پاداش میدهیم.

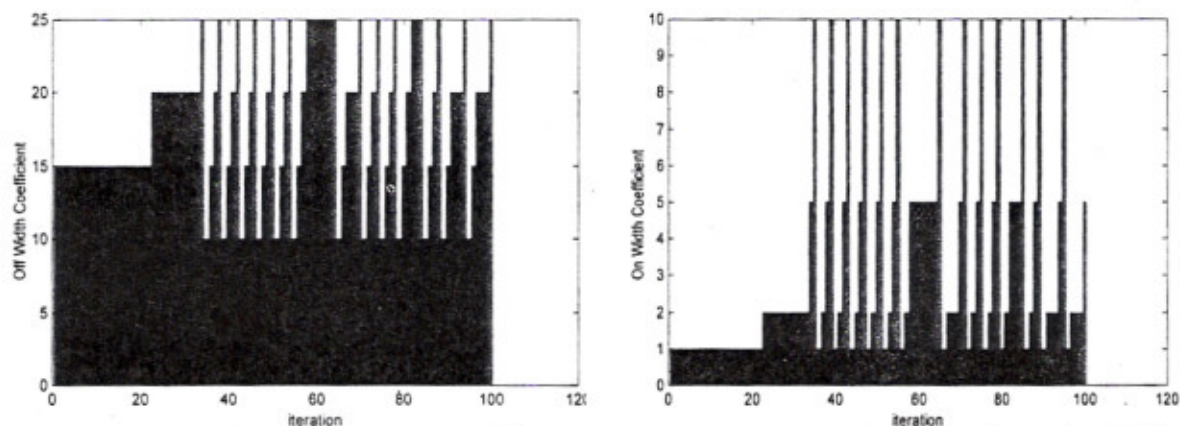
مسئله شناسایی اعداد لاتین: الگوریتم تطبیقی برای ۶ شبکه مختلف با شرایط اولیه تصادفی و با تعداد نرونها لایه مخفی متفاوت پیاده سازی شده و نتایج در جدول ۲ نشان داده شده است. شکلها ۱۵ و ۱۶ نمودار تغییرات ضریب پهنهای روشی و ضریب پهنهای خاموشی را نشان میدهد. برای تمامی شبکه ها از اتماتان $N_{HWLA(2, 7, N)}$ برای وزنهای و از اتماتان $Tsetline(4, 5)$ برای تطبیق ضرائب پهنهای روشی و خاموشی استفاده شده است. N تعداد وزنهای لایه مخفی شبکه در ابتدای الگوریتم می باشد. مجموعه ضرائب پهنهای روشی {۱، ۲، ۵، ۱۰}، مجموعه ضرائب پهنهای خاموشی {۲۰، ۲۵، ۱۰، ۱۵، ۲۰}، ضریب کاهش وزن ۰/۹، تعداد تکرار الگوریتم BP در هر گام ۵۰، نرخ یادگیری ۰/۰۱ و ضریب ممتنم صفر در نظر گرفته شده است. از تابع غیرخطی سیگموئید که بین -۱ و +۱ تغییر میکند بعنوان تابع لایه مخفی و لایه خروجی استفاده شده است. الگوهای آموزش ۵۰۰ بار به شبکه اعمال شده است.

مسئله تقریب تابع غیرخطی زمان گسته درجه دوم: الگوریتم تطبیقی برای ۶ شبکه مختلف با شرایط اولیه تصادفی و با تعداد نرونها لایه مخفی متفاوت پیاده سازی شده و نتایج در جدول ۳ نشان داده شده است. در الگوریتم تطبیقی بیشترین خطای مربوط به شبکه شماره ۲ میباشد که مقدار آن ۲/۲۰۸۲ میباشد در این حالت به ازای ورودی سینوسی شکل موج خروجی تابع و خروجی شبکه در شکلها ۱۷ و ۱۸ به ازای دو فرکانس مختلف نشان داده شده است. چنانچه از روی شکلها مشخص میباشد خروجی شبکه عصبی بخوبی خروجی تابع را دنبال میکند. برای تمامی شبکه ها از اتماتان $N_{HWLA(2, 7, N)}$ برای وزنهای و از اتماتان $Tsetline(4, 5)$ برای تطبیق ضرائب پهنهای روشی و خاموشی استفاده شده است. N تعداد وزنهای لایه مخفی شبکه در ابتدای الگوریتم می باشد. مجموعه ضرائب پهنهای روشی {۱، ۴، ۶، ۸، ۰}، مجموعه ضرائب پهنهای خاموشی {۱۶، ۱۴، ۱۲، ۱۰}، ضریب کاهش وزن ۰/۹، تعداد تکرار الگوریتم BP در هر گام ۵۰، نرخ یادگیری ۰/۰۱ و ضریب ممتنم ۰/۹۸ در نظر گرفته شده است. از تابع غیرخطی سیگموئید که بین -۱ و +۱ تغییر میکند بعنوان تابع لایه مخفی و از تابع خطی بعنوان تابع لایه خروجی استفاده شده است. الگوهای آموزش ۵۰۰ بار به شبکه اعمال شده است.

مسئله تشخیص اعداد چاپی فارسی: الگوریتم تطبیقی برای ۴ شبکه مختلف با شرایط اولیه تصادفی و با تعداد نرونها لایه مخفی متفاوت پیاده سازی شده و نتایج در جدول ۴ نشان داده شده است. برای تمامی شبکه ها از اتماتان $N_{HWLA(2, 20, N)}$ برای وزنهای و از اتماتان $Tsetline(4, 5)$ برای تطبیق ضرائب پهنهای روشی و خاموشی استفاده شده است. N تعداد وزنهای لایه مخفی شبکه در ابتدای الگوریتم می باشد. مجموعه ضرائب پهنهای روشی {۳/۵، ۴/۵، ۵}، مجموعه ضرائب پهنهای خاموشی {۱۸، ۱۶، ۱۲، ۱۰}، ضریب کاهش وزن ۰/۹، تعداد تکرار الگوریتم BP در هر گام ۵۰، نرخ یادگیری ۰/۰۱ و ضریب ۱+ تغییر میکند بعنوان تابع لایه مخفی و لایه خروجی استفاده شده است.

جدول ۲: مقایسه الگوریتم غیر تطبیقی با الگوریتم تطبیقی برای مسئله شناسایی اعداد لاتین

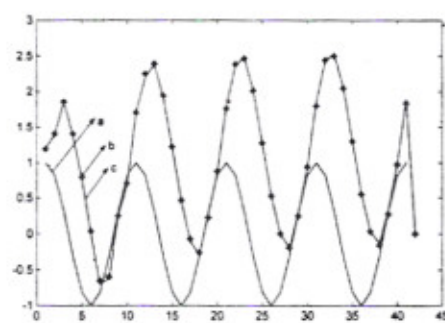
شبكه	واحد مخفی	وزنهای لایه مخفی (الگوریتم غیر تطبیقی)	در صد تشخیص (آموزش)	وزنهای لایه تطبیقی (الگوریتم تطبیقی)	در صد تشخیص (آزمایشی)	در صد تشخیص (آموزش)	در صد تشخیص (آزمایشی)	در صد تشخیص
۱	۱۵	۴۹۹	٪۷۸۰۰	٪۷۸۰۰	٪۷۸۰۰	٪۷۸۰۰	٪۷۸۰۰	٪۷۸۰۰
۲	۱۵	۵۳۴	٪۷۸۰۰	٪۷۸۰۰	٪۷۸۰۰	٪۷۸۰۰	٪۷۸۰۰	٪۷۸۰۰
۳	۱۷	۵۵۸	٪۷۸۰۰	٪۷۸۰۰	٪۷۸۰۰	٪۷۸۰۰	٪۷۸۰۰	٪۷۸۰۰
۴	۱۹	۶۳۷	٪۷۸۰۰	٪۷۸۰۰	٪۷۸۰۰	٪۷۸۰۰	٪۷۸۰۰	٪۷۸۰۰
۵	۲۱	۷۱۴	٪۷۸۰۰	٪۷۸۰۰	٪۷۸۰۰	٪۷۸۰۰	٪۷۸۰۰	٪۷۸۰۰
۶	۲۲	۷۷۲	٪۷۸۰۰	٪۷۸۰۰	٪۷۸۰۰	٪۷۸۰۰	٪۷۸۰۰	٪۷۸۰۰
متوسط	۱۸/۳	۵۱۹	٪۷۸۰۰	٪۷۸۰۰	٪۷۸۰۰	٪۷۸۰۰	٪۷۸۰۰	٪۷۸۰۰



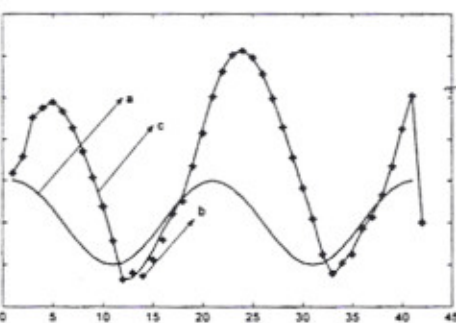
شکل ۱۵: منحنی تغییرات خوبی پهنای روشی

جدول ۳: مقایسه الگوریتم غیر تطبیقی با الگوریتم تطبیقی برای مسئله تفرب تابع غیر خطی زمان گسته درجه دوم

شبكه	واحد مخفی	وزنهای لایه مخفی (الگوریتم غیر تطبیقی)	خطای شبکه عصبی به ازای ورودی سینوسی	وزنهای لایه عصبی به ازای ورودی سینوسی	خطای شبکه عصبی به ازای ورودی سینوسی	وزنهای لایه عصبی به ازای ورودی سینوسی	خطای شبکه عصبی به ازای ورودی سینوسی	وزنهای لایه تطبیقی (الگوریتم تطبیقی)
۱	۸	۲۲	٪۰/۳۸۲۲	٪۰/۳۸۲۲	٪۰/۳۸۲۲	٪۰/۳۸۲۲	٪۰/۳۸۲۲	٪۰/۱۱۶۲
۲	۱۰	۲۵	٪۰/۹۷۱۷	٪۰/۹۷۱۷	٪۰/۹۷۱۷	٪۰/۹۷۱۷	٪۰/۹۴۰۹	٪۰/۹۴۰۹
۳	۱۲	۳۲	٪۰/۷۰۰۵	٪۰/۷۰۰۵	٪۰/۷۰۰۵	٪۰/۷۰۰۵	٪۰/۲۰۸۲	٪۰/۲۰۸۲
۴	۱۷	۴۱	٪۰/۶۵۲۶	٪۰/۶۵۲۶	٪۰/۶۵۲۶	٪۰/۶۵۲۶	٪۰/۷۷۲۵	٪۰/۷۷۲۵
۵	۲۰	۴۷	٪۰/۶۶۳۱	٪۰/۶۶۳۱	٪۰/۶۶۳۱	٪۰/۶۶۳۱	٪۰/۸۰۱۲	٪۰/۸۰۱۲
۶	۲۵	۶۳	٪۰/۱۳۰۴۷	٪۰/۱۳۰۴۷	٪۰/۱۳۰۴۷	٪۰/۱۳۰۴۷	٪۰/۴۵۸۰	٪۰/۴۵۸۰
متوسط	۱۵/۵	۳۸/۵	٪۰/۱۱۱۲۵	٪۰/۱۱۱۲۵	٪۰/۱۱۱۲۵	٪۰/۱۱۱۲۵	٪۰/۲۰۹۵	٪۰/۲۰۹۵



شکل ۱۶: (a) ورودی (b) خروجی تابع (c) خروجی شبکه



شکل ۱۷: (a) ورودی (b) خروجی تابع (c) خروجی شبکه

جدول ۳: مقایسه الگوریتم غیر تطبیقی با الگوریتم تطبیقی برای مسئله تشخیص اعداد چاپی فارسی

در صد تشخیص (آزمایشی)	در صد تشخیص (آموزش)	وزنهای لایه مخفي (الگوریتم تطبیقی)	در صد تشخیص (آزمایشی)	در صد تشخیص (آموزش)	وزنهای لایه مخفی (الگوریتم غیر تطبیقی)	واحد مخفي	شبکه
%۱۰۰	%۱۰۰	۱۱	%۱۰۰	%۱۰۰	۲۶	۶	۱
%۹۰	%۱۰۰	۱۹	%۱۰۰	%۱۰۰	۲۲	۷	۲
%۱۰۰	%۱۰۰	۲۹	%۹۰	%۱۰۰	۴۷	۱۲	۳
%۱۰۰	%۱۰۰	۲۹	%۱۰۰	%۱۰۰	۲۲	۱۲	۴
%۹۷/۵	%۱۰۰	۲۲	%۹۷/۵	%۱۰۰	۲۲	۹/۲۵	متوسط

۷- نتیجه گیری

در این مقاله یک الگوریتم جدید بر اساس اتوماتانهای یادگیر برای تطبیق بازه تصمیم گیری مورد استفاده در الگوریتم تعیین تعداد وزن، ارائه گردیده است. الگوریتم پیشنهادی از اتوماتان یادگیر و الگوریتم پس انتشار خطای برای تعیین ساختار شبکه استفاده میکند. در الگوریتم پیشنهادی برای پاسخ دادن به اتوماتان مربوط به تنظیم بازه های تصمیم گیری از معیار خطای کمک گرفته ایم. الگوریتم جدید شبکه هایی با اتصالات محلی که دارای پیچیدگی پائین و قدرت تعمیم بالایی هستند تولید میکند. این الگوریتم بر روی مسائل مختلفی پیاده سازی شده است. نتایج مشابه سازیها میدهد شبکه های تولید شده توسط الگوریتم جدید از پیچیدگی پائین تری نسبت به الگوریتم تعیین وزن غیر تطبیقی برخوردار میباشد.

- تشریف و قدردانی

در اینجا بر خود لازم میدانم از آقای مهندس حمید بیگی دانشجوی دکتری دانشکده کامپیوتر دانشگاه صنعتی امیرکبیر بخاطر داده های اعداد فارسی که در اختیار اینجاتب قرار داد کمال تشریف و قدردانی را بعمل بیاورم.

مراجع

- [1] Tin-Yau Kwok and Dit-Yan Yeung, "Constructive Algorithms for Structure Learning in Feedforward Neural Networks for Regression Problems," IEEE Trans. Neural Networks, vol. 8, NO. 3, pp. 630-645, MAY 1997.
- [2] Meybodi, M. R. and Beigy, H. (1999), "Optimization of Neural Networks Using Learning Automata," Proc. Of 4th Annual Int. Computer Society of Iran Computer Conf. CSICC-98, Tehran, Iran, pp. 417-428, Iran (In Persian).
- [3] M. C. Mozer and P. Smolensky, "Skeletonization: A technique for trimming the fat from a network via relevance assessment," in Advances in Neural Information Processing (1), D.S. Touretzky, Ed. (Denver 1988), 1989, pp. 107-115.
- [4] B. E. Segev and M. J. Carter, "Fault tolerance of pruned multilayer networks," in Proc. Int. Joint Conf. Neural Networks, vol. II (Seattle), pp. 447-452, 1991.
- [5] E. D. Karnin, "A simple procedure for pruning back-propagation trained neural networks," IEEE Trans. Neural Networks, vol. 1, no. 2, pp. 239-242, 1990.
- [6] Y. Le Cun, J. S. Denker, and S. A. Solla, "Optimal brain damage," in Advances in Neural Information Processing (2), D.S. Touretzky, Ed. (Denver 1989), 1990, pp. 598-605.
- [7] A. S. Weigend, D. E. Rumelhart, and B. A. Huberman, "Generalization by weight elimination with application to forecasting," in Advances in Neural Information Processing (3), R. Lippmann, J. Moody, and D. Touretzky, Eds., 1991, pp. 875-882.
- [8] A. S. Weigend, D. E. Rumelhart, and B. A. Huberman, "Backpropagation, weight-elimination and time series prediction," in Proc. 990 Connectionist Models Summer School, D. Touretzky, J. Elman, T. Sejnowski, and G. Hinton, Eds., 1990, pp. 105-116.
- [9] Y. Chauvin, "A backpropagation algorithm with optimal use of hidden units," in Advances in Neural Information (1), D. S. Touretzky, Ed. (Denver 1988), 1989, pp. 519-526.
- [10] S. J. Hanson and L. Y. Pratt, "Comparing biases for minimal network construction with backpropagation," in Advances in Neural Information Processing (1), D.S. Touretzky, Ed. (Denver 1988), 1989, pp. 177-185.
- [11] Y. Chauvin, "Dynamic behavior of constrained backpropagation networks," in Advances in Neural Information Processing(2), D. S. Touretzky, Ed. (Denver 1989), 1990, pp. 642-649.
- [12] C. Ji, R. R. Snapp, and D. Psaltis, "Generalizing smoothness constrains from discrete samples," Neural Computation, vol. 2, no. 2, pp. 188-197, 1990.
- [13] D. C. Plaut, S. J. Nowlan, and G. E. Hinton, "Experiments on learning by backpropagation," Tech. Rep. CMU-CS-86-126, Carnegie-Mellon Univ., 1986.
- [14] S. J. Nowlan and G. E. Hinton, "Simplifying neural networks by soft weight sharing," Neural Computation, vol. 4, pp. 473-493, 1992.
- [15] Marco Muselli, "On Sequential Construction of Binary Neural Networks," IEEE Trans. Neural Networks,

- vol. 6, no. 3, pp. 678-690, MAY. 1995.
- [16] Steven Young and Tom Downs, "CARVE-A Constructive Algorithms for Real-Valued Examples," IEEE Trans. Neural Networks Networks, vol. 9, no. 6, pp. 1180-1190, NOV. 1998.
- [17] John O. Moody and Panos J. Antsaklis, " The Dependence Identification Neural Network Construction Algorithm," IEEE Trans. Neural Networks, vol. 7, no. 1, pp. 3-15, Jan. 1996.
- [18] F. M. Frattale Mascioli and G. Martinelli, "A Constructive Algorithm for Binary Neural Networks: The Oil-Sport Algorithm," IEEE Trans. Neural Networks, vol. 6, no. 3, pp. 794-797, MAY. 1995.
- [19] Rudy Setiono and Lucas Chi Kwong Hui, "Use of a Quasi-Newton Method in a Feedforward Neural Network Construction Algorithm," IEEE Trans. Neural Networks, vol. 6, no. 1, pp. 273-277, JAN. 1995.
- [20] Nabhan T. M. and Zomaya A. Y., "Toward Neural Networks Structure for Function Approximation," Neural Networks, vol. 7, no. 1, pp. 89-99, 1993.
- [21] Hirose Y., Yamashita K. and Hijya S., "Backpropagation Algorithm which Varies The Number of Hidden Units," Neural Networks, vol. 4, no. 1, pp. 61-66, 1991.
- [22] J. D. Schaffer, D. Whitley and L. J. Eshelman, "Combination of genetic algorithms and neural networks: A Survey of the state of the art," IEEE Proc. COGANN-92, pp. 1-37, 1992.
- [23] V. Maniezzo, "Genetic Evolution of the Topology and Weight Distribution of Neural Networks," IEEE Trans. on Neural Networks, vol. 5, no. 1, pp. 39-53, 1994.
- [24] P. J. Angeline, G. M. Saunders and J. B. Pollack, "Evolutionary Algorithms that Construct Recurrent Neural Networks," IEEE Trans. on Neural Networks, vol. 5, no. 1, pp. 54-65, 1994.
- [25] X. Yao and Y. Liu, "A New Evolutionary System for Evolving Artificial Neural Networks," IEEE Trans. On Neural Networks, vol. 8, no. 3, pp. 694-713, 1997.
- [26] D. Whitley and C. Bogart, "The Evolution of Connectivity: Pruning Neural Networks Using Genetic Algorithms," Proc. Of Int. Joint Conf. on Neural Networks, vol. 1, pp. 134, 1990.
- [27] Beigy. H. and Meybodi, M. R., "Optimization of Topology of Neural Networks Using Learning Automata," Proc. Of 4th Annual Int. Computer Society of Iran Computer Conf. CSICC-98, Tehran, Iran, pp. 417-428 (In Persian) 1999.
- [28] M. B. Menhaj, "Computational Intelligence (vol. 1) Fundamentals of Neural Networks ", Professor Hessabi Publication, 1998.
- [29] Y. Chauvin, "Generalization performance of overtrained backpropagation networks," in Neural Networks, Proc. EUROSIP Workshop, L. B. Almedia and C. J. Wellekens, Eds., Feb. 1990, pp. 46-55.
- [30] E. Levin, N. Tishby, and S. A. Solla, "A statistical approach to learning and generalization in layered neural networks," Proc. IEEE, vol. 78, no. 10, pp. 1568-1574, Oct. 1990.
- [31] D. B. Schwartz, V. K. Samalan, S. A. Solla, and J. S. Denker, "Exhaustive learning," Neural Computation, vol. 2, no. pp. 374 - 385, 1990.
- [32] N. Tishby, E. Levin, and S. A. Solla, "Consistent inference of probabilities in layered networks: Predictions and generalization," in Proc. Int. Joint Conf. neural Networks, 1989, p. 403.
- [33] A. Blumer, A. Ehrenfeucht, D. Haussler, and M. Warmuth, "Learnability and the Vapnik-Chervonenkis Dimension," J. Ass. Comput. Mach., vol. 36, no. 4, pp. 929-965, 1989.
- [34] A. Ehrenfeucht, D. Haussler, M. Kearns, and L. Valiant, "A general lower bound on the number of examples needed for learning." In Proc. 1988 Workshop Computational Learning theory, 1988.
- [35] L. G. Valiant, "A theory of the learnable," Commun.1 Ass. Comut. Mach., vol. 27, no. 11, pp. 1134-1142, 1984.
- [36] K. S. Narendra and M. A. L. Thathachar, Learning Automata: An Introduction, Prentice Hall, Englewood cliffs, 1989.
- [37] M. R. Meybodi and S. Lakshminarahan, "Optimality of a General Class of Learning Algorithm ", Information science, Vol. 28, pp. 1-20, 1982.
- [38] M. R. Meybodi and S. Lakshminarahan, "on a class of Learning Algorithm which have a symmetric Behavior under Success and Failure", Springer Verleg Lecture Notes in Statistics, pp. 145 -155, 1984.
- [39] M. R. Meybodi, " Results on a Strongly Absoulutely Expedient Learning Automata ", Proc. Of OU Inference Conf. 86, ed. D. R. Mootes and R. Butrick, Athens, Ohio: Ohio University Prees, pp. 197-204.
- [40] Beigy. H. and Meybodi, M. R. (1999), " Optimization of Neural Networks Using Learning Automata," Proc. Of 4th Annual Int. Computer Society of Iran Computer Conf. CSICC-98, Tehran, Iran, pp. 417-428, Iran (In Persian).
- [41] R. Reed, "Pruning algorithms-A survey," IEEE Trans. Neural Networks, vol. 4, no. 5, pp. 740-747, Sept. 1993.
- [42] Meybodi, M. R. and Beigy. H. (2000), " Neural Networks Engineering Using Learning Automata: Determining Optimal size for three layer Neural Networks" Proc. Of 5th Annual Int. Computer Society of Iran Computer Conf. CSICC-99, Tehran, Iran, pp. 431-450, Iran (In Persian).



P. W. I. T

**The Ninth
Iranian Conference on Electrical Engineering**

Proceedings

CONTROL

May 8-10, 2001

Power & Water Institute of Technology ,
Tehran ,Iran



I.C.E.E